

UZAKTAN ALGILAMADA SPEKTRORADYOMETRENİN ÖNEMİ VE BUNUN HARRAN OVASI ÖRNEĞİNE UYGULAMALARI

*M.Eren Öztekin, Ural Dinç, Mahmut Dingil
Çukurova Üniversitesi Ziraat Fakültesi Toprak Bölümü Balcalı ADANA*

1. GİRİŞ

Günümüzde yapılan çalışmalar genellikle insanların ihtiyaçlarını karşılamaya yönelikir. Bu ihtiyaçların karşılanması içinde ülkelerin elliinde bulunan kaynakları bilmeleri veya bu kaynakların nasıl kullanılacağı hakkında bilgi edinmeleri gerekmektedir. Bunların başında hiç şüphesiz insanların gıda tüketimi gelmektedir. Tarımsal faaliyetler sonucu elde edilen besin maddeleri gıda tüketimi içerisinde önemli bir paya sahiptir. Bu faaliyetlerin yürütüldüğü alanlar ise yeryüzünde oldukça büyük bir bölgeyi kaplamaktadır.

Bu nedenle çalışılacak alanların geniş olması ve zamandan kazanç sağlanması açısından havadan yapılan çalışmaların önemi her geçen gün artmaktadır. Uzaktan algılama adı altında bu tür çalışmalar uzun zamandır yürütülmektedir. Uzaktan Algılama ; Yeryüzünde yer alan objelerle fiziksel bir temasta bulunmaksızın belirli bir mesafeden yapılan ölçümle bu objeler hakkında bilgi toplamakdır. Bu ölçümle özellikle objelerin elektromanyetik spektrum içerisindeki davranışları konumsal ve yıl içindeki özelliklerinde meydana gelen değişimlere dayanmaktadır.

Uzaktan algılama çalışmaları sırasında görüntülerin yorumlanmasıında çoğu zaman hangi bölgenin ne tür yüzey örtüsü ile kaplı olduğu bilinmemektedir. Bu yapılabilecek olan çalışmalar sırasında kullanılacak uydu verilerinin yorumlanması ve buna bağlı olarak elde edilecek olan sonuçlarda bir takım hataların ortaya çıkmasına neden olacaktır. Uydu verilerinin kullanılmadan önce yer ölçümü ile korelasyonun sağlanması sonuçların doğruluğu açısından oldukça önemlidir. Yer ölçümlerinde uydu sistemleri gibi çok bantlı tarayıcılar kullanılarak yeryüzünde yer alan objelerin kendilerine özgü yansımalarının karakteristikleri bulunmaktadır. Bu karakteristikler Uzaktan Algılama çalışmaları sırasında görüntülerin yorumlanması ve doğru sonuçların bulunması açısından büyük kolaylıklar sağlamaktadır.

Yer ölçümlerinde iki tip alet kullanılmaktadır;

1. Spektroradyometre : Arazi çalışmalarında kullanılmaktadır.
2. Spektrofotometre : Laboratuvar çalışmalarında kullanılmaktadır.

Bu çalışma Harran Ovasında yer alan major toprak serilerinin ve değişik yüzey örtü tiplerinin Spektroradyometre ile belirlenip, elde edilen ölçüm değerlerinin yine aynı bölgeye ait LANDSAT uydu görüntüsü ile korelasyonunu sağlamak amacıyla yapılmıştır. Korelasyon sırasında Harran ovasına ait LANDSAT uydusunun 3.-5.-7. Bantları kullanılmıştır.

Spektroradyometre ile belirlenen yansımaların değerleri sayesinde alınacak uydu görüntülerinden hangi bölgede ne tür bitki örtüsü yetiştiğine hakkında yorum yapmada birçok kolaylıklar sağlanmaktadır. Günümüzde gelişmiş ülkeler Spektroradyometre kullanımının gerekliliğini anlamış ve yaptıkları çalışmalarla Spektroradyometrik yansımaların değerlerini kullanmışlardır. Harran ovası içeriği potansiyel bakımından ve geleceğe dönük yatırımlar açısından oldukça önemlidir. Bu nedenle bu çalışma Harran ovası ve çevresinde yapılmıştır.

2. MATERİYAL VE METOD

Yer ölçümü kapsamı içerisinde arazi çalışmalarında çoğu, uyularla benzer kanallara sahip olan, birçok değişik tipte spektroradyometre kullanılmaktadır.

Bu çalışmada Harran Ovasına ait bütün ölçümlerde Fransadan getirilen CIMEL Spektroradyometresi kullanılmıştır. CIMEL ilk olarak 1983 yılında Cauroult Dominuquie tarafından kullanılmıştır. Radyometredeki üç kanallı sistem Spot HRV uydusu ile benzer spektral alanlar içerisinde (400-1100 nm) yer almaktadır (GUYOT ve ark., 1984).

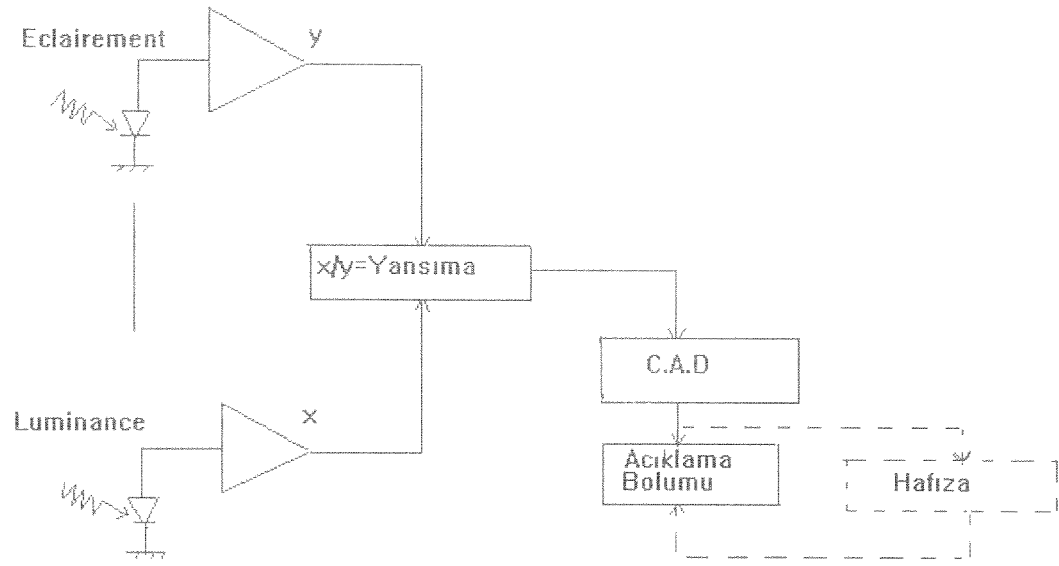
Spektroradyometre birbirinden bağımsız 3 parçanın birleşmesinden meydana gelmektedir.

1- Ölçüm yapılan arazide, topraktan veya bitki örtüsünden kaynaklanan yansımaya parlaklıklarını elde etmek amacıyla kullanılan ve Luminans baş olarka adlandırılan bölüm. Bu bölüm 12.3 cm uzunluğunda ve 7.6 cm çapında silindir şeklinde bir yapıya sahiptir. Bağımsız olarak ölçüm yapan 3 kanal bulunmaktadır. Bu bölüm baştan sonuna kadar şu parçalardan oluşmaktadır.

- Camdan yapılmış bir yüzeye sahip olan ve giriş penceresi olarak adlandırılan kısım. Bu parça sayesinde 12° ile 1° lik açıyla ölçümler yapılabilmektedir.
 - Ayrıca ölçüm yapılan araziyi sınırlamak ve ölçülen araziden kaynaklanan yansımaya bozukluklarını ortadan kaldırmak için bu camdan bölmelere ihtiyacımız vardır.
 - Değiştirilebilir yapıya sahip olan bir filtre sistemi bulunmaktadır. Radyometredeki bu filtreler SPOT uydusundaki filtre sistemi ile eşdegerdedir.
 - Silisyum bir alıcı, alıcının yüzey duyarlılığı $1*1$ mm lik diyagramlarla sınırlanmıştır. Bu alıcılar 400 ve 1100 nm arasında kullanılmaktadır.
- 2- Güneşin farklı parlaklık değerlerini elde etmek için kullanılan 2. baş. Bu bölüm 3.5 cm uzunluğunda ve 7.0 cm çapında silindirik kutuya benzeyen bir görünüm sahiptir. Luminans başta olduğu gibi bağımsız ölçüm yapan 3 kanaldan oluşmaktadır. Bu bölüm sırası ile şu parçalardan oluşmaktadır.
- Ölçüm yapılan yerden yansıyan ışığı alarak bununla aynı olan yansımaya miktarını teflon girişe sahip olan pencerele yönlendiren bölüm. 400-1100 nm arasında parlaklıkları alan bant yapısına sahiptir.
 - Değiştirilebilir filtrelerin bulunduğu bölüm. Bu kısım luminans baştakilerle aynıdır.
 - Silisyum bir alıcı, alıcının yüzey duyarlılığı $1*1$ mm lik bir diyagramla sınırlanmış olup 400-1100 nm arasında kullanılmaktadır.

3- Yansıma ölçüm değerlerini doğrudan üç dalga boyunda, "Yeşil (500-590nm), Kırmızı (610-690nm) ve Yakın kızılötesi (790-890 nm)" veren ve kumanda kutusu olarka adlandırılan bölüm.

- Luminans baş ve diğer baştan alınan değerleri bünyesinde hesaplayan ve yansımaya değerlerini gelen sinyallerle orantılı olarak ortaya çıkan parça.
- Birbirine benzer 20.000 digital parçadan oluşan kısım.
- Elde edilen değerlerin açıklandığı sistem. Her kanal elde edilen yansımadeğerlerini aralıksız olarak veren sıvı kristallere sahiptir.



d'apres GUYOT

Şekil 1 Spektroradyometrenin Genel Görüntüsü

Kumanda kutusunun içerisinde enerji sağlama açısından 4 adet 1.5V standart pil bulunmaktadır.

Ayrıca Spektroradyometrenin parçaları arasındaki bağlantıyı sağlayan 2 adet kordon bulunmaktadır. Bu kordonlardan birisi Luminans başla kumanda kutusu arasındaki bağlantıyı sağlarken diğeride 2.baş ile kumanda kutusu arasındaki bağlantıyı sağlamaktadır.

Harran Ovasında üzerinde ölçüm yapılacak serilerin belirlenmesinde bu bölgede daha önce yapılmış ve 1988 yılında tamamlanmış olan Harran Ovasına ait detaylı etüt haritalama raporu (Köy.Hiz.Gen.Müd. 1988) kullanılmıştır.

Spektroradyometrik ölçümler Harran ovasında bulunan 9 farklı seri üzerinde yapılmıştır. Bu seriler:

- 1-Kap (Kp) Serisi.
- 2-Karabayır (Kb) Serisi.
- 3-İrice (Ir) Serisi.
- 4-İkizce (Ik) Serisi.
- 5-Akçakale (Aç)Serisi.
- 6-Gürgelen (Gr)Serisi.
- 7-Harran (Hr)Serisi.
- 8-Hancağız(Hn)Serisi.
- 9-Akören(Ak)Serisi.

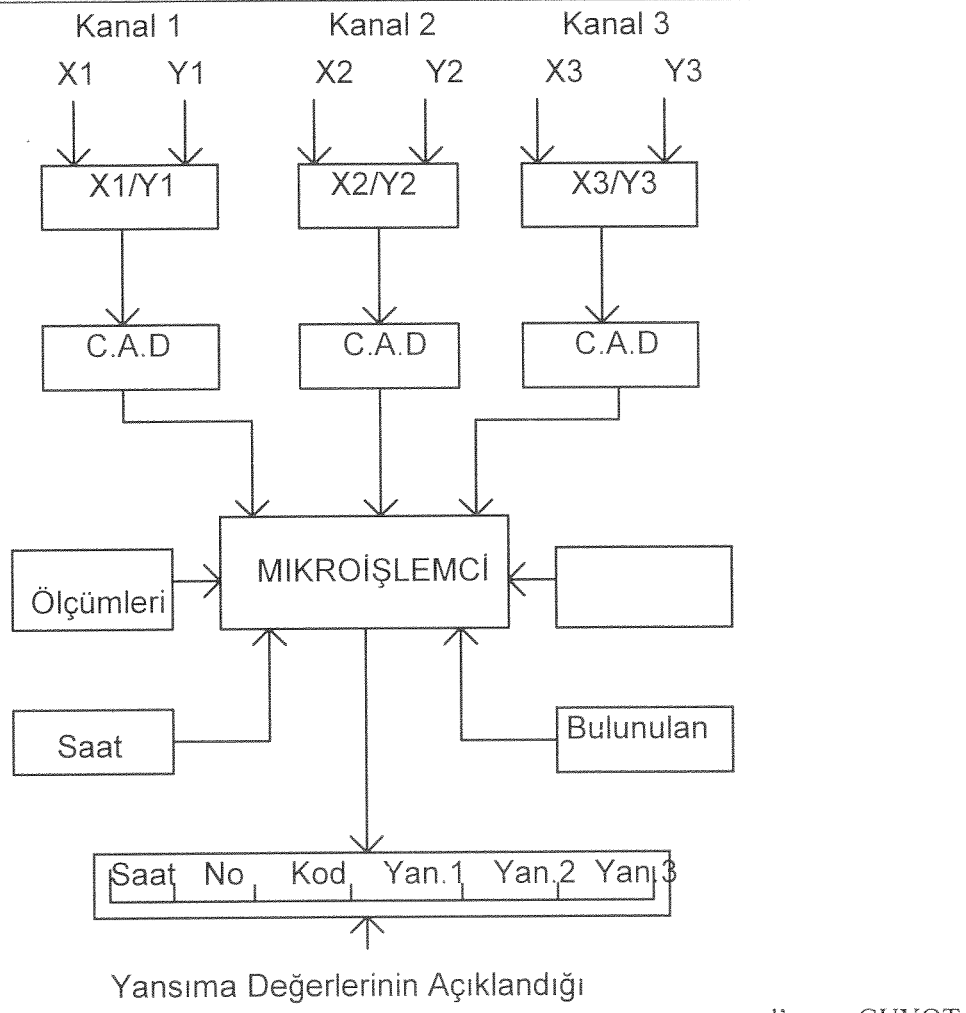
Seriler üzerinde ölçümlerin yapılacağı yerleri bulmada kolaylık sağlama açısından 8 adet topografik harita kullanılmıştır.

3. ARAŞTIRMA SONUÇLARI

Spektroradyometre ile ölçüm yapılmadan önce atmosferik koşullar hakkında birtakım bilgilerin elde edilmesi gerekmektedir. Havanın bulutlu olması objelerin verdiği yansımaya değerini değiştirmekte buna bağlı olarak objelerin kendilerine özgü yansımaya değerlerinde birtakım hatalı sonuçlar ortaya çıkmaktadır.

Çizelge.1 Aynı toprak yüzeyinin farklı atmosferik koşullardaki yansımaları

Bulutlu			Güneşli		
Yeşil	Kırmızı	Yakın Kızılıötesi	Yeşil	Kırmızı	Yakın Kızılıötesi
11.8	16.2	26.5	17.3	20.4	32.4
10.2	15.8	24.5	18.6	20.6	31.6
11.3	16.4	22.8	17.9	21.4	31.2
10.4	15.7	24.7	18.2	20.2	31.8
10.8	14.6	23.1	18.4	20.5	32.5
10.5	14.5	23.5	18.7	20.4	32.6



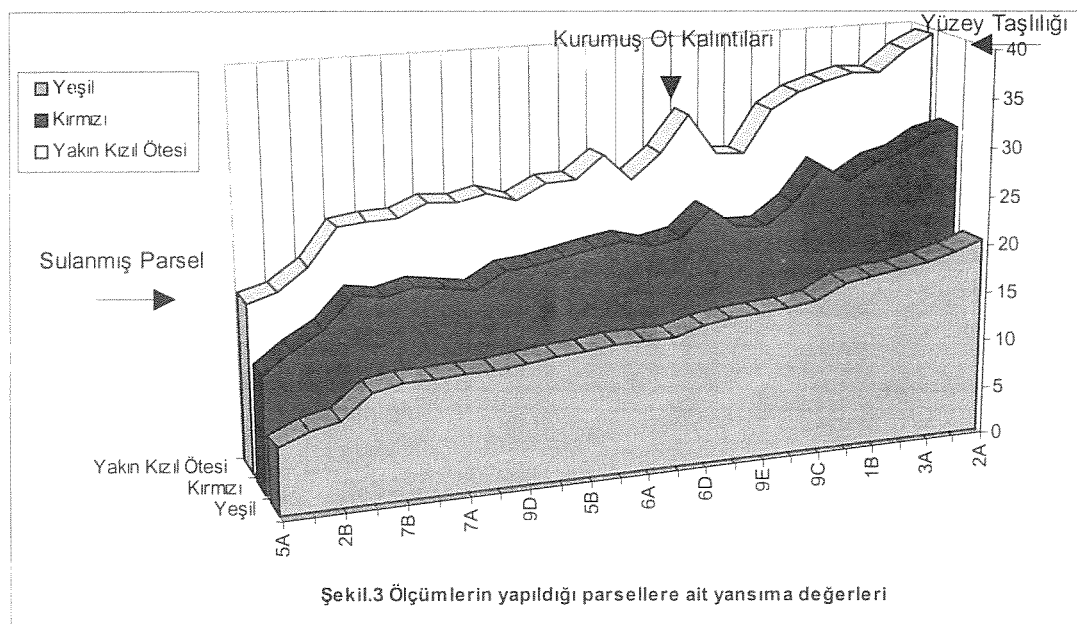
d'après GUYOT

Şekil. 2 Spektroradyometrede Verilerin Yansıma Değerlerinin Açıklandığı
Bölümüne Gelinceye Kadarki Geçtiği Evreler

Spektroradyometre ile ölçüm yapılmaya başlandığı andan itibaren ölçümü bitirene kadar bütün duraklarda saatlerin kaydedilmesi gerekmektedir, çünkü güneşin spektroradyometre üzerine geliş açısı yansımı degerleri üzerinde oldukça önemlidir (Courault D, Bertuzzi P, Girard M.C 1993).

Ölçümlerin yapıldığı parsellere ait yansımı degerleri aşağıda belirtildiği gibidir.

Ölçüm Noktaları	Yeşil	Kırmızı	Yakın Kızıl Ötesi
1A	15.3	22.2	28.3
1B	17.7	26	35.3
1C	12.1	18.4	25.7
1D	14.7	24.3	32.8
2A	20.3	30.8	39.4
2B	8.8	15.9	20.5
3A	18.5	28.6	35.8
3B	13.4	21.6	27
3C	11.2	19	24.3
4A	8.1	14.2	18.4
5A	6.8	12	17.5
5B	13	20.9	27
5C	18	27.8	35.9
6A	13.4	22	29.3
6B	19.3	30.2	38
6C	17.2	27.9	34.4
6D	14.3	21.8	29.1
7A	12	18.9	26
7B	11.9	18.6	24.6
8A	12.8	20.3	25.4
9A	11.9	19.4	24.7
9B	13.5	21.2	26.5
9C	15.6	24.4	32.7
9D	12.4	20.1	26.4
9E	15	22.3	28.5



Harran ovasına ait 3-5-7 bantlarındaki LANDSAT görüntüsü ile Spektroradyometrik ölçüm değerlerinin korelasyonunu sağlamak için Multiscope 2.2 Paket programı kullanıldı. Görüntüler üzerinde daha rahat çalışılması amacıyla görüntüler filtreden geçirildi. Görüntüler üzerinde ölçümlerin yapıldığı parseller bulunduktan sonra radyometrik değerlere göre elde edilmiş olan G1, G2, G3, G4, G5 sınıflarına dahil edilen parsellerin yansımama değerleri bu paket programa aktarıldı.

Yapılan ilk sınıflamada yalnızca bu değerler kullanıldı. İstatistikî sınıflandırma STATIC TIC paket programında tekrar yapıldığından G1, G2, G3, G4 ve G5 sınıflarına dahil edilen parsellerden bazlarının dahil edildiği grumlarda değişiklikler yapıldı. Elde edilen değerlere göre sınıfların görüntü üzerindeki dağılımı ve % değerleri aşağıdaki gibidir.

<u>Sınıflar</u>	<u>Görüntüdeki % Değeri</u>
G1	14.56
G2	16.33
G3	12.38
G4	0.99
G5	6.77
Sınıflandırılamayan Alan	48.77

Radyometrik ölçüm sonuçlarına göre uydu verisinden elde edilen görüntü Şekil 4' deki gibidir. Görüntü üzerinde tekrar yapılan sınıflandırmaya göre elde edilen değerler ve yüzdeleri aşağıdaki şekilde sıralanmaktadır.

- Bant 3 : 1
- Bant 5 : 2
- Bant 7 : 3
- Filtre Edilmiş Görüntü : 4

LEJANT

C1 : G1
 C2 : G2
 C3 : G3
 C4 : G4
 C5 : Karışık Renkler
 C6 : Siyah
 C7 : Kumlu Araziler

Matris Divaryans

	C1	C2	C3	C4	C5	C6	C7
C1	0.0000						
C2	0.9541	0.0000					
C3	0.9783	0.9806	0.0000				
C4	0.5829	0.8960	0.9976	0.0000			
C5	0.9791	1.0000	1.0000	0.9998	0.0000		
C6	1.0000	1.0000	1.0000	1.0000	0.9843	0.0000	
C7	0.9999	0.9971	0.9940	0.9999	1.0000	1.0000	0.0000

Matris divaryans sonuçlarına göre C7 satırında C7'ye en yakın değerler C2 ve C3 iken, C6 satırında en yakın değer C5 bulunmaktadır, C4 ile C1 ise birbirlerine yakın değerler vermişlardır.

Sınıflandırılan grup : G1

Radyometrik ölçüm sırası : 1

Verilen Renk : Kahverengi

<u>Değerlendirilen bant</u>	<u>Ortalama</u>	<u>Ecart Type</u>
1	102.87	11.10
2	77.89	5.85
3	71.81	6.33
4	124.81	15.91

Matris Korelasyon

1.00	0.96	0.97	0.15
0.96	1.00	0.97	0.03
0.97	0.97	1.00	0.01
0.15	0.03	0.01	1.00

Matris korelasyon sonuçlarında görüldüğü gibi bant 3 (1), bant 5 (2) ve bant7 (3) nin değerleri birbirine çok yakın çıkmıştır, buna göre bu bantlar birbirleri ile korele edilebilmektedirler.

Çizelge 3'de sınıflandırılan bölgelerin görüntüü üzerinde bulunan değerlerinin birbirleri ile karşılaştırılmasını görmekteyiz.

Burada;

RJ : Sınıflanmamış noktalar

VT : Gerçeğe Uygun Arazi Değerlerini göstermektedir

Çizelge 3 Kesin Değerlerin Birbirleri ile Karşılaştırılmasına ait Matris Sonuçları

	C1	C2	C3	C4	C5	C6	C7	RJ	VT
C1	90	0	2	16	24	0	0	7	139
C2	0	164	4	5	0	0	0	4	177
C3	4	8	61	0	0	0	1	3	77
C4	9	0	0	85	0	0	0	1	95
C5	14	0	2	0	707	3	0	48	774
C6	0	0	2	0	8	783	0	40	833
C7	0	0	1	0	0	0	185	9	195
CL	117	172	72	106	739	786	186	***	***

Çizelge 4 Matris değerlerine ait % miktarları

	C1	C2	C3	C4	C5	C6	C7	RJ	VT
C1	64.75	0.00	1.44	11.51	17.27	0.00	0.00	5.04	100.00
C2	0.00	92.66	2.26	2.82	0.00	0.00	0.00	2.26	100.00
C3	5.19	10.39	79.22	0.00	0.00	0.00	1.30	3.90	100.00
C4	9.47	0.00	0.00	89.47	0.00	0.00	0.00	1.05	100.00
C5	1.81	0.00	0.26	0.00	91.34	0.39	0.00	6.20	100.00
C6	0.00	0.00	0.24	0.00	0.96	94.00	0.00	4.80	100.00
C7	0.00	0.00	0.51	0.00	0.00	0.00	94.87	4.62	100.00

Yeni sınıflama

G1 : % 16.39

G2 : % 14.44

G3 : % 10.90

G4 : % 10.89

Karışık Renk : % 2.33

Siyah : % 2.44

Kumlu parsel : % 3.83

Sınıflanmamış alan : % 38.73

Yeni sınıflamaya göre Harran Ovasına ait görüntü Şekil 5'deki gibidir. Buradada görüldüğü gibi sınıflandırılamayan alan yüzdesi düşmekle birlikte istenilen ölçülerde düşüş sağlanamamıştır. Bununda nedeni çalışan uydu verisi üzerindeki bilgilerin oldukça eski olması ve bu bölgede sulama

çalışmalarından sonra meydana gelen değişikliklerin bu görüntüde görülmemesi nedeniyle yorumda ortaya çıkan hatalardır.

KAYNAKLAR

GUYOT,G., HANOCQJ, F., BUIS, J.P., SAINT, G.;(1983). Mise au point d'un radiometre de simulstion de SPOT. II. coll.int. Signatures spectrales d'objets en télédétection Bordeaux, 12-16 sept. 1983.Ed.INRA.Publ.1984 (les Colloques de l'INRA no: 23)

KÖY HİZMETLERİ GENEL MÜDÜRLÜĞÜ.,(1988). Güneydoğu Anadolu Bölgesi Toprakları I. Harran Ovası sf 475

COURAULT, D., BERTUZZI, P., GIRARD, M.C., (1993). Monİtorİng Suface Changes of Bare soşls due to Slaking Using Spectral Measurments Soil science Society of America Journal Volume 57, no.6 November-December 1993.